

В. К. Андреев, А. А. Родионов

НЕУСТОЙЧИВОСТЬ ПРИ РАСТЯЖЕНИИ ЦИЛИНДРИЧЕСКОГО СЛОЯ ЖИДКОСТИ

В работе получено точное решение нестационарных уравнений вращательно-симметричного движения идеальной жидкости. Оно интерпретируется как движение цилиндрического слоя со свободными границами. При этом учитывается и влияние сил поверхностного натяжения. Дан анализ устойчивости по линейному приближению, и найдены асимптотики роста малых возмущений. Приводятся также результаты численных расчетов возмущений свободных границ слоя в зависимости от параметров: чисел Вебера, относительной толщины слоя, длины волны возмущения.

Основное движение. Рассмотрим вращательно-симметричное движение идеальной несжимаемой жидкости в лагранжевых координатах [1]:

$$(1) \quad r_{tt} - \frac{V}{r^3} + \frac{r}{\eta} (z_\xi p_\eta - z_\eta p_\xi) = 0, \quad z_{tt} - \frac{r}{\eta} (r_\xi p_\eta - r_\eta p_\xi) = 0,$$

$$r (r_\eta z_\xi - r_\xi z_\eta) = \eta.$$

Здесь $\eta = r(\eta, \zeta, 0)$; $\zeta = z(\eta, \zeta, 0)$; t — время; p — давление; $V(\eta, \zeta)$ — квадрат начального распределения момента импульса жидкой частицы вокруг оси z ; функция V считается заданной. Плотность жидкости принимается равной единице.

Групповые свойства системы (1) изучены в [2], где выделены специализации классифицирующей функции $V(\eta, \zeta)$, при которых происходит расширение основной группы. Пусть $V = V(\eta)$, тогда система (1) допускает двухпараметрическую подгруппу $\langle \partial_\zeta + \partial_z, t\partial_z \rangle$ [2]. Заметим, что начальные условия $r = \eta$, $z = \zeta$, $t = 0$ являются инвариантным многообразием относительно этой подгруппы. Поскольку инвариантами подгруппы служат переменные t , η , r , p , то для системы (1) можно искать лишь частично инвариантные решения [3] ранга 2 и дефекта 1 вида $r = r(\eta, t)$, $z = z(\eta, \zeta, t)$, $p = p(\eta, t)$. При этом из (1) находим

$$(2) \quad r = \left\{ 2 \int_0^\eta \eta [1 + a(\eta)t]^{-1} d\eta + c(t) \right\}^{1/2}, \quad z = [1 + a(\eta)t] \zeta + b(\eta)t,$$

$$p = \int r_\eta \left(\frac{V}{r^3} - r_{tt} \right) d\eta + \varphi(t)$$

с произвольными функциями $c(t)$, $(c(0) = 0)$, $a(\eta)$, $b(\eta)$, $\varphi(t)$. Решение (2) можно интерпретировать как движение вращающегося вокруг оси z и вытягивающегося в направлении этой оси бесконечного жидкого цилиндра ($c(t) \equiv 0$) или цилиндрического слоя со свободными границами.

Положим в (2) $a(\eta) \equiv k = \text{const}$, $b(\eta) \equiv 0$ и будем считать $c(t) \neq 0$ (при $c(t) = 0$ получаем задачу о растяжении жидкого цилиндра [4]), так что

$$(3) \quad r = m(\eta, t)\eta, \quad z = \tau\zeta, \quad m = (1/\tau + c/\eta^2)^{1/2}, \quad \tau = 1 + kt.$$

В этом случае цилиндрический слой можно считать конечным. Действительно, пусть в начальный момент времени область, занятая жидкостью, представляет собой цилиндрический слой $\Omega = \{\eta, \zeta | \eta_1 < \eta < \eta_2, 0 < \zeta < h\}$. Плоскости $\zeta = 0$, $\zeta = h$ суть непроницаемые стенки, а цилиндрические поверхности $\eta = \eta_{1,2}$ — свободные границы. Начальное поле скоростей на Ω имеет вид $w_0 = k\zeta$, $u_0 = [c'(0) - k\eta^2]/2\eta$, тем самым постоянная k определяется начальной скоростью $W = kh$ твердой стенки $\zeta = h$.

Для изучения эволюции свободных границ цилиндрического слоя обозначим через $r_1(t)$ внутренний радиус, а через $r_2(t)$ — внешний. Из (3)

получим $r_1(t) = m(\eta_1, t)\eta_1$, $r_2(t) = m(\eta_2, t)\eta_2$, и, значит,

$$(4) \quad r_2^2(t) - r_1^2(t) = (\eta_2^2 - \eta_1^2)/\tau.$$

Конечное соотношение (4) есть закон сохранения объема цилиндрического слоя. В процессе движения, как следует из (3), (4), жидкость сохраняет форму прямого полого цилиндра, причем твердая стенка $\zeta = 0$ остается неподвижной. Верхняя стенка движется по закону $z = th$. Если $k > 0$, то цилиндрический слой вытягивается вдоль оси z , а при $k < 0$ за время $t = 1/|k|$ движущаяся плоскость встречается с неподвижной. Если u_{10} есть начальная скорость внутренней поверхности, то $c'(0) = 2\eta_1 u_{10} + k\eta_1^2$. Будем считать $c'(0) = 0$, так что движение определяется только постоянной $k = W/h$ — начальным растяжением или сжатием вдоль оси z . При $k = 0$, $c'(0) \neq 0$ получаем плоское течение кольца, исследованное в [4, 5].

Пусть σ_1 , σ_2 — коэффициенты поверхностного натяжения на внутренней и внешней поверхностях. Из динамического условия на границах $p(r_2(t), t) - p(r_1(t), t) = \sigma_1/r_1(t) + \sigma_2/r_2(t)$ и равенств (2), (4) можно найти обыкновенное дифференциальное уравнение 2-го порядка на функцию $c(t)$. Вместо $c(t)$ удобно ввести новую функцию $g = 1 + \eta_1^{-2}ic$ и перейти к переменной $\mu = (1 + kt)^2 = \tau^2$ вместо t . Тогда упомянутое выше уравнение относительно $g(\mu)$ имеет вид

$$(5) \quad g'' \ln \left(1 + \frac{\varepsilon}{g} \right) + \frac{g'^2}{2} \left(\frac{1}{g + \varepsilon} - \frac{1}{g} \right) + \frac{3\varepsilon}{8\mu^2} - \frac{1}{2k^2\eta_1^4} \int_1^{1+\varepsilon} \frac{V(\eta_1 V_y)}{(g - 1 + y)^2} dy + \frac{1}{\mu^{1/4}} \left(\frac{S_1}{V_g} + \frac{S_2}{V_{g+\varepsilon}} \right) = 0, \quad g(1) = 1, \quad g'(1) = 0,$$

где $\varepsilon = (\eta_2/\eta_1)^2 - 1 > 0$; $S_j = \sigma_j/\eta_1^3 k^2$ ($j = 1, 2$) — числа Вебера (напомним, что плотность жидкости полагается равной единице). По функции $g(\mu)$ радиусы внутренней и внешней поверхностей определяются по формулам

$$(6) \quad r_1 = \eta_1 \mu^{-1/4} g^{1/2}, \quad r_2 = \eta_1 \mu^{-1/4} (g + \varepsilon)^{1/2}.$$

В случае потенциального движения слоя $V = 0$ и, как нетрудно видеть из (5), $g(\mu) \leq 1$ для всех $\mu \geq 1$. Более точные оценки показывают, что справедливо неравенство

$$(7) \quad - \left[(1 - g) \frac{3\varepsilon}{4} - 4S_1 V_g - 4S_2 V_{g+\varepsilon} + \gamma \right]^{1/2} \leq \\ \leq \left[\ln \left(1 + \frac{\varepsilon}{g} \right) \right]^{1/2} \frac{dg}{d\mu} \leq - [\gamma - 4S_1 V_g - 4S_2 V_{g+\varepsilon}]^{1/2}$$

($\gamma = 4S_1 + 4S_2 V\sqrt{1+\varepsilon}$). Отсюда ясно, что существует такое $\mu_* > 1$, что $g(\mu_*) = 0$. Обращаясь к формулам (6), получим $r_1(t_*) = 0$, $r_2(t_*) = \eta_1 \mu_*^{-1/4} \varepsilon^{1/2}$ в момент времени $t_* = (\sqrt{\mu_*} - 1)/k$, $k > 0$. Используя оценку (7), легко показать, что скорость внутренней поверхности неограниченно растет, причем $dr_1/dt \sim c_0 r_1^{-1} [-\ln(r_1 V \bar{\tau}/\eta_1)]^{-1/2}$ при $r_1 \rightarrow 0$, $c_0 = k\eta_1^{1/2} (3\varepsilon/8)^{1/2}$. Это отражает тот факт, что в момент исчезновения полости происходит гидравлический удар — схлопывание полости.

К сожалению, это движение не продолжимо за время $t > t_*$ как движение цилиндрической струи. Действительно, если $g = 0$ при $t \geq t_*$, то в формулах (2), (3) надо взять $c = -\eta_1^2/\tau$. Получим

$$(8) \quad r = \left(\frac{\eta_1^2 - \eta_1^2}{\tau} \right)^{1/2}, \quad z = \tau \zeta, \quad p = -\frac{3}{8\tau^3} \eta_1^2 + \varphi(t).$$

Ясно, что это решение описывает движение при $t \geq t_*$ сплошной цилиндрической струи со свободной границей $r_3(t) = [(\eta_2^2 - \eta_1^2)/\tau]^{1/2}$. При этом

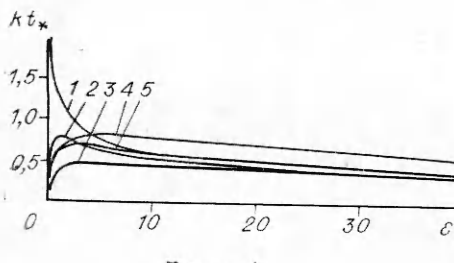


Рис. 1

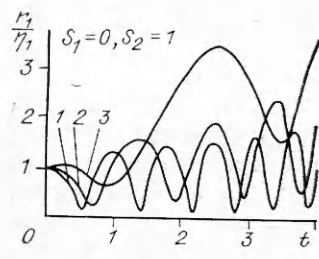


Рис. 2

$\Phi(t) = \sigma_2/r_3(t) + 3(\eta_2^2 - \eta_1^2)/8\tau^3$. Можно показать, что полная энергия цилиндрического слоя остается конечной в момент схлопывания, однако она не совпадает с энергией струи (8) в этот момент на величину, пропорциональную $\lim_{t \rightarrow t_*} (g')^2 \ln(1 + \varepsilon/g)$ и отличную от нуля в силу оценок (7). Кроме того, давление в цилиндрическом слое при $t \rightarrow t_*$ неограниченно возрастает и тем самым не совпадает с давлением в струе, распределенным по закону (8).

З а м е ч а н и е 1. Уравнения гидродинамики (1) вращательно-симметричного движения инвариантны относительно преобразований $t' = -t + a$, $\eta' = V\sqrt{\eta^2 + b(\zeta)d}$, $\zeta' = \zeta$, $r' = r$, $z' = z$, $p' = p$ с произвольными параметрами a , d и функцией $b(\zeta)$ [2]. Положив $a = -t_*$, $b = 1$, $d = -\eta_1^2$, убеждаемся, что (8) сводится к известному решению Л. В. Овсянникова [4] с линейным полем скоростей.

На рис. 1 приведены численно построенные зависимости безразмерного времени схлопывания $kt_*(\varepsilon)$ полости. Кривая 1 отвечает $S_1 = S_2 = 0$, 2 — $S_1 = 0, 1$, $S_2 = 0$, 3 — $S_1 = S_2 = 1$, а угловой момент равен нулю (функция $V(\eta)$ в уравнении (5) равна нулю). Кривые 4 ($V = 0,2k^2\eta_1^4y^2$, $S_1 = 1, S_2 = 0$) и 5 ($V = 0,2k^2\eta_1^4y$, $S_1 = 1, S_2 = 0$) показывают, что схлопывание полости может происходить и при ненулевом вращении.

При определенных условиях задания функции $V(\eta)$ возможно установление колебательного движения цилиндрического слоя. На рис. 2 даны графики зависимостей радиуса внутренней свободной границы от времени t при $V = 0,2k^2\eta_1^4(1 + y^2)$, $S_1 = 0$, $S_2 = 1$ и $\varepsilon = 0,5; 1; 3$ (линии 1—3 соответственно). В тех случаях, когда силы инерции, связанные с вращением жидкости вокруг оси z , преобладают над другими силами, возможно неограниченное возрастание внутреннего радиуса. Такое движение может быть реализовано, например, при $S_1 = 0, S_2 = 0, V = 0,2k^2\eta_1^4(1 + y^2)$.

Малые возмущения цилиндрического слоя. Задача об эволюции малых возмущений произвольного потенциального течения идеальной несжимаемой жидкости с учетом капиллярных сил имеет вид [6]

$$(9) \quad \operatorname{div} M^{-1}M^{*-1}\nabla\Phi = 0, \xi \in \Omega, t \geq 0;$$

$$(10) \quad \Phi_t = \left[\frac{\partial p}{\partial n_{\Gamma_t}} + \sigma \left(\frac{1}{R_1^2} + \frac{1}{R_2^2} \right) \right] R + \sigma \bar{\Delta}_{\Gamma}(t) R, \quad \xi \in \Gamma, \quad t \geq 0;$$

$$(11) \quad R = \frac{|\nabla f|}{|M^{*-1}\nabla f|} \mathbf{n} \cdot \left(\mathbf{s} + \int_0^t M^{-1}M^{*-1}\nabla\Phi dt \right), \quad \xi \in \Gamma, \quad t \geq 0;$$

$$(12) \quad \Phi = 0, \operatorname{div} \mathbf{s} = 0, \xi \in \Omega, t = 0.$$

Здесь M — матрица Якоби отображения $\xi \rightarrow \mathbf{x}(\xi, t)$ начальной области Ω на область течения Ω_t при $t > 0$ с элементами $M_{ij} = \partial x_i / \partial \xi_j$ ($i, j = 1, 2, 3$); M^* — сопряженная матрица; Γ — граница Ω ; $f(\xi) = 0$ — ее уравнение; $\mathbf{n}(\xi)$ — нормаль к Γ ; Γ_t — граница Ω_t ; R_1, R_2 — главные радиусы кривизны ее нормальных сечений; $\partial p / \partial n_{\Gamma_t}$ — производная по нормали

к Γ_t от давления; $\bar{\Delta}_\Gamma(t)$ — оператор Лапласа — Бельтрами с коэффициентами $E = |M\xi_\alpha|^2$, $G = |M\xi_\beta|^2$, $F = (M\xi_\alpha, M\xi_\beta)$ ($\alpha, \beta \rightarrow \xi(\alpha, \beta)$) — регулярная параметризация границы Γ); $\mathbf{s}(\xi)$ ($\xi \in \Gamma$) — вектор смещения точек границы, характеризующий начальное возмущение области течения. Функция $R(\xi, t)$ ($\xi \in \Gamma$) представляет собой отклонение свободной границы в возмущенном движении от свободной границы в основном [6]. Она наиболее наглядно характеризует влияние малых возмущений на движение со свободной границей.

Для потенциального движения цилиндрического слоя (3) отображение $\xi \rightarrow \mathbf{x}(\xi, t) = (m(\eta, t)\xi_1, m(\eta, t)\xi_2, \tau\zeta)$ и матрица Якоби M допускает представление

$$M = mE_1 + \eta m_\eta Q + \tau E_2 \quad (\eta^2 = \xi_1^2 + \xi_2^2, \xi_3 = \zeta),$$

где $E_1 = \text{diag}(1, 1, 0)$; $E_2 = \text{diag}(0, 0, 1)$, а элементы матрицы Q равны $\xi_i \xi_j / \eta^2$ ($i, j = 1, 2$) и 0 при других значениях i, j . Поскольку $QE_2 = 0$, $Q^2 = Q$, $E_1 E_2 = 0$, то для обратной матрицы M^{-1} получим выражение

$$M^{-1} = \frac{1}{m} E_1 - \tau \eta m_\eta Q + \frac{1}{\tau} E_2.$$

Учитывая, что $M = M^*$, $Q\nabla\Phi = (\xi_1, \xi_2, 0)\Phi_\eta/\eta$, из (9) после некоторых преобразований приходим к уравнению на функцию $\Phi(\eta, \theta, \zeta, t)$

$$(13) \quad \Phi_{\eta\eta} + \frac{\eta^2 - \tau c}{(\eta^2 + \tau c)\eta} \Phi_{\eta\theta} + \frac{\eta^2}{(\eta^2 + \tau c)^2} \Phi_{\theta\theta} + \frac{\eta^2}{(\eta^2 + \tau c)\tau^3} \Phi_{\zeta\zeta} = 0$$

при $(\eta, \theta, \zeta) \in \Omega = \{\eta_1 < \eta < \eta_2, 0 \leq \theta \leq 2\pi, 0 < \zeta < h\}$.

При преобразовании граничного условия (11) надо взять $\sigma = \sigma_1$ при $\eta = \eta_1$, $\sigma = \sigma_2$ при $\eta = \eta_2$. Введем обозначение $m_j(t) = m(\eta_j, t)$ ($j = 1, 2$). Поскольку параметризация свободных границ $\Gamma_j(\eta = \eta_j)$ есть $\xi(\theta, \zeta) = (\eta_j \cos \theta, \eta_j \sin \theta, \zeta)$, то

$$E = (\eta_j m_j)^2, \quad G = \tau^2, \quad F = 0, \quad \bar{\Delta}_{\Gamma_j}(t) R = \frac{1}{(\eta_j m_j)^2} \frac{\partial^2 R}{\partial \theta^2} + \frac{1}{\tau^2} \frac{\partial^2 R}{\partial \zeta^2}.$$

Далее, уравнение свободных границ Γ_j есть $f = \xi_1^2 + \xi_2^2 - \eta_j^2 = 0$, значит, $R_1^{-2} + R_2^{-2} = (\eta_j m_j)^{-2}$, $|\nabla f|/|M^{*-1}\nabla f| = 1/\tau m_j$, $\mathbf{n}_j = \mp(\xi_1, \xi_2, 0)/\eta_j$. Кроме того, из (2), (3), (11) находим

$$(14) \quad \frac{\partial p}{\partial n_{\Gamma_t}} = \pm \eta_j m_{jtt} \quad (\eta = \eta_j);$$

$$(15) \quad R = \frac{1}{\tau m_j} \left(s_j \mp \int_0^t \tau^2 m_j^2 \Phi_\eta dt \right) \quad (\eta = \eta_j), \quad s_j = \mathbf{s} \cdot \mathbf{n}_j \quad (j = 1, 2),$$

а граничное условие (11) приводит к соотношениям

$$(16) \quad \begin{aligned} \Phi &= \left[\pm \frac{\eta_j m_{jtt}}{\tau m_j} + \frac{\sigma_j}{\tau \eta_j^2 m_j^3} \left(\frac{\partial^2}{\partial \theta^2} + \frac{\eta_j^2 m_j^2}{\tau^2} \frac{\partial^2}{\partial \zeta^2} + 1 \right) \right] \times \\ &\times \left(s_j \mp \int_0^t \tau^2 m_j^2 \Phi_\eta dt \right) = 0 \quad (\eta = \eta_j, j = 1, 2), \end{aligned}$$

где верхний знак соответствует $j = 1$, нижний — $j = 2$.

Так как возмущение скорости определяется по формуле [6]

$$(17) \quad \mathbf{U} = M^{*-1} \nabla \Phi,$$

то условие непротекания твердых стенок $\zeta = 0$, $\zeta = h$ эквивалентно

$$(18) \quad \Phi_\zeta = 0 \quad (\zeta = 0, \zeta = h).$$

Итак, для анализа поведения малых возмущений цилиндрического слоя жидкости требуется найти функцию $\Phi(\eta, \theta, \zeta, t)$ как решение началь-

но-краевой задачи (13), (16), (18), (12), а затем вычислить $R^j(t) = R|_{\eta=\eta_j}$ согласно формуле (15).

Заметим, что в случае $\sigma_1 = \sigma_2 = 0$, согласно (15), (14), $\partial p / \partial n_{\Gamma_t} < 0$ при $\eta = \eta_j$ и задача (13), (16), (18), (12) корректно поставлена [7]. При $\sigma_1 > 0$, $\sigma_2 > 0$ она корректно поставлена по Адамару независимо от знака $\partial p / \partial n_{\Gamma_t}$ [6].

Построение возмущенного движения и его асимптотический анализ. Заметим, что в задаче (13), (16), (18) переменные (η, t) , θ , ζ разделяются. С учетом равенств (18) положим

$$(19) \quad \Phi = \sum_{n=0}^{\infty} \sum_{\lambda=0}^{\infty} A_{n\lambda}(\eta, t) e^{i\lambda\theta} \cos\left(\frac{n\pi}{h}\zeta\right) \quad (i = \sqrt{-1}).$$

После подстановки (19) в (13) получим уравнение на $A(\eta, t) = A_{n\lambda}(\eta, t)$:

$$(20) \quad A_{\eta\eta} + \frac{\eta^2 - \tau c}{\eta(\eta^2 + \tau c)} A_\eta - \left[\frac{\eta^2 \lambda^2}{(\eta^2 + \tau c)^2} + \frac{\eta^2 q^2}{\tau^3 (\eta^2 + \tau c)} \right] A = 0$$

($q = n\pi/h$); можно проверить, что общее решение его имеет вид

$$(21) \quad A(\eta, t) = B_1(t) I_\lambda \left[\frac{q}{\tau^{3/2}} (\eta^2 + \tau c)^{1/2} \right] + B_2(t) K_\lambda \left[\frac{q}{\tau^{3/2}} (\eta^2 + \tau c)^{1/2} \right]$$

с произвольными функциями $B_1(t)$, $B_2(t)$ (I_λ , K_λ — модифицированные функции Бесселя 1-го и 2-го рода).

Пусть

$$(22) \quad N_j = \left[a_j + \frac{1}{k} \int_1^\tau \tau^2 m_j^2 A_\eta d\tau \right] \Big|_{\eta_1} \quad (\eta = \eta_j),$$

где $a_j \equiv a_{n\lambda,j}$ — коэффициенты ряда Фурье начальных смещений поверхностей $s_j(\theta, \zeta)$. Введем также новые функции $A_j(\tau) = A(\eta_j, t)/k\eta_1^2$ и обозначим

$$f_j = I_\lambda \left[\frac{q}{\tau^{3/2}} (\eta_j^2 + \tau c)^{1/2} \right], \quad g_j = K_\lambda \left[\frac{q}{\tau^{3/2}} (\eta_j^2 + \tau c)^{1/2} \right].$$

Из (21) при $q \neq 0$ находим

$$A_\eta = \frac{k\eta_1^2}{\Delta} \left[\left(g_2 \frac{dI_\lambda}{d\eta} - f_2 \frac{dK_\lambda}{d\eta} \right) A_1 + \left(f_1 \frac{dK_\lambda}{d\eta} - g_1 \frac{dI_\lambda}{d\eta} \right) A_2 \right], \quad \Delta = f_1 g_2 - f_2 g_1.$$

После подстановки полученных выражений в (16), (22) получим систему четырех обыкновенных дифференциальных уравнений 1-го порядка:

$$(23) \quad \frac{dA_j}{d\tau} = \left[\pm \frac{\eta_j m_j \tau \epsilon}{\eta_1 \tau m_j} - \frac{\eta_1^2 S_j}{\eta_j^2 \tau m_j^3} \left(\frac{m_j^2 \beta_j^2}{\tau^2} + \lambda^2 - 1 \right) \right] N_j;$$

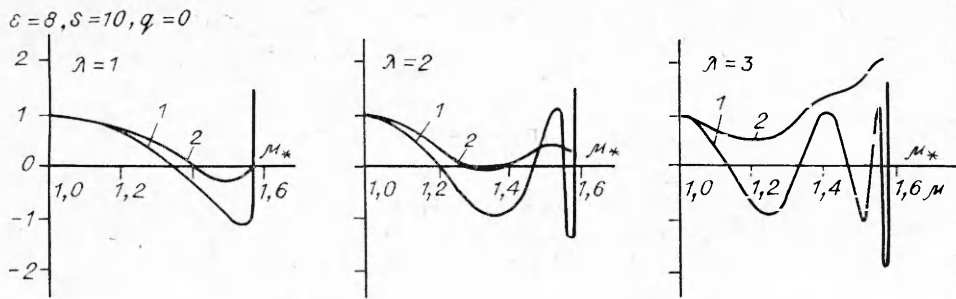
$$(24) \quad \frac{dN_1}{d\tau} = \frac{\tau^2 m_1^2}{\Delta} \left(v_1 A_1 + \frac{1}{g} A_2 \right), \quad \frac{dN_2}{d\tau} = \frac{\tau^2 m_2^2}{\Delta} \left(\frac{\sqrt{1+\epsilon}}{g+\epsilon} A_1 + v_2 A_2 \right).$$

Здесь $\hat{\beta}_1 = q\eta_1$; $\beta_2 = \sqrt{1+\epsilon}\beta_1$; $\epsilon = \eta_2^2/\eta_1^2 - 1$;

$$v_1 = \frac{\beta_1}{\sqrt{\tau^3 g}} \left(f_2 \frac{dK_\lambda(x)}{dx} - g_2 \frac{dI_\lambda(x)}{dx} \right); \quad x = \beta_1 \sqrt{\frac{g}{\tau^3}};$$

$$v_2 = \frac{\beta_2}{\sqrt{\tau^3(g+\epsilon)}} \left(-g_1 \frac{dI_\lambda(y)}{dy} + f_1 \frac{dK_\lambda(y)}{dy} \right); \quad y = \beta_2 \sqrt{\frac{g+\epsilon}{\tau^3}},$$

функция g есть решение задачи Коши (5) с $V \equiv 0$.



Р и с. 3

Для построения возмущенного движения к системе следует добавить начальные условия

$$(25) \quad A_1(1) = A_2(1) = 0, \quad N_1(1) = a_1/\eta_1, \quad N_2(1) = a_2/\eta_1.$$

По известным функциям N_1 , N_2 амплитуды отклонений свободных границ определяются очень просто:

$$(26) \quad R_{n\lambda}^1 = \frac{\eta_1}{\tau m_1} N_1(\tau), \quad R_{n\lambda}^2 = \frac{\eta_1}{\tau m_2} N_2(\tau).$$

Для двумерных возмущений, когда $q = 0$, уравнение (20) имеет решение

$$A = B_1(t)(\eta^2 + \tau c)^{\lambda/2} + B_2(t)(\eta^2 + \tau c)^{-\lambda/2}.$$

В этом случае изменятся лишь уравнения для $N_1(\tau)$, $N_2(\tau)$: вместо (24) будут уравнения

$$(27) \quad \begin{aligned} \frac{dN_1}{d\tau} &= -\frac{\lambda\tau}{\Delta} \left\{ \left(\frac{g}{g+\varepsilon} \right)^{\lambda/2} + \left(\frac{g+\varepsilon}{g} \right)^{\lambda/2} \right\} A_1 - 2A_2, \\ \frac{dN_2}{d\tau} &= \frac{\lambda\tau}{\Delta \sqrt{1+\varepsilon}} \left\{ -2A_1 + \left[\left(\frac{g}{g+\varepsilon} \right)^{\lambda/2} + \left(\frac{g+\varepsilon}{g} \right)^{\lambda/2} \right] A_2 \right\}, \quad \Delta = \left(\frac{g}{g+\varepsilon} \right)^{\lambda/2} - \left(\frac{g+\varepsilon}{g} \right)^{\lambda/2}. \end{aligned}$$

Конечно, в уравнениях (23) следует положить $q = 0$ ($\beta_1 = 0$).

Наконец, для чисто радиальных возмущений ($\lambda = 0$, $q = 0$) решение уравнения (20) есть $A = B_1(t) \ln(\eta^2 + \tau c) + B_2(t)$ и для N_1 , N_2 имеем

$$(28) \quad \frac{dN_1}{d\tau} = \frac{2\tau}{\ln(1+\varepsilon/g)} (A_1 - A_2), \quad \frac{dN_2}{d\tau} = -\frac{2\tau}{\sqrt{1+\varepsilon} \ln(1+\varepsilon/g)} (A_1 - A_2).$$

При этом в уравнениях (23) надо положить $\lambda = 0$, $q = 0$.

Коэффициенты системы (23), (24) регулярны всюду, за исключением точки $\tau = \tau_* = 1 + kt_*$, в которой $g(\tau_*) = 0$. В ней они имеют логарифмические особенности, поскольку, например, при $g \rightarrow 0$

$$\frac{m_{1\tau\tau}}{\tau m_1} \sim \frac{3\varepsilon\tau}{4g^2 \ln g}, \quad \frac{m_{2\tau\tau}}{\tau m_2} \sim \frac{3\varepsilon}{4\sqrt{1+\varepsilon} g \ln^2 g}.$$

Наличие таких особенностей затрудняет нахождение асимптотического разложения решения задачи (23), (24) в окрестности особой точки $\tau = \tau_*$. Тем не менее такое разложение с помощью различных замен удаётся осуществить. Этот анализ требует больших выкладок и здесь излагаться не будет, приведем лишь его результаты.

Пусть $S_1 = S_2 = 0$ — инерционное склонение слоя. Оказывается, что различаются случаи $\lambda > 1$, $\lambda = 1$, $\lambda = 0$. Минуя промежуточные выкладки, сразу же приведем асимптотики амплитуд функций R^1 , R^2 при $r_1(t) \rightarrow 0$, когда $t \rightarrow t_*$. Именно

$$(29) \quad R_{n\lambda}^1 \sim D_1(\tau) \left[-\ln \left(\frac{r_1 \sqrt{\tau}}{\eta_1} \right) \right]^{1/4} \exp \left[i \sqrt{\lambda-1} \ln \left(\frac{r_1}{\eta_1} \right) \right], \quad \lambda > 1;$$

$$(30) \quad R_{n1}^1 \sim D_2(\tau) \left[-\ln \left(\frac{r_1 \sqrt{\tau}}{\eta_1} \right) \right]^{1/2} \exp \left\{ i \left[-2 \ln \left(\frac{r_1 \sqrt{\tau}}{\eta_1} \right) \right]^{1/2} \right\}, \quad \lambda = 1;$$

$$(31) \quad R_{n0}^1 \sim D_3(\tau) \left[-\ln \left(\frac{r_1 \sqrt{\tau}}{\eta_1} \right) \right]^{1/4} \left(\frac{r_1}{\eta_1} \right)^{-1/2}, \quad \lambda = 0$$

с некоторыми ограниченными при $\tau \rightarrow \tau_*$ функциями $D_1(\tau)$, $D_2(\tau)$, $D_3(\tau)$. Таким образом, внутренняя поверхность всегда неустойчива при схлопывании. Что касается внешней поверхности, то для всех $\lambda \geq 0$

$$(32) \quad R_{n\lambda}^2 \sim D_4(\tau) r_1 \left[-\ln \left(\frac{r_1 \sqrt{\tau}}{\eta_1} \right) \right]^{3/2},$$

поэтому она устойчива при схлопывании. Отметим, что при $\lambda > 1$ $R_{n\lambda}^1$ ведет себя так же, как и при сжатии кольца жидкости [5]. Данная асимптотика не зависит и от вида начальных возмущений — потенциальных или вихревых. При $\lambda = 1$ трехмерные возмущения несколько снижают неустойчивость, не устраняя ее полностью (для кольца $R_1^1 \sim D_2(\tau) \times [-\ln(r_1/\eta_1)]^{3/2}$ [5]).

Влияние капиллярности. Пусть $S_1 \neq 0$, $S_2 \neq 0$ в системах (5), (23). Можно показать, что и в этом случае главные члены асимптотик для $R_{n\lambda}^1$, $R_{n\lambda}^2$ при любых фиксированных λ , q совпадают с (29)–(32). Тем самым внутренняя поверхность неустойчива при схлопывании, однако для достаточно высоких гармоник с $\lambda \gg \left[-\frac{r_1}{\eta_1} \ln \left(\frac{r_1 \sqrt{\tau}}{\eta_1} \right) \right]^{-1/2}$ или $q \gg \gg \left[-\left(\frac{r_1}{\eta_1} \right)^3 \ln \left(\frac{r_1 \sqrt{\tau}}{\eta_1} \right) \right]^{-1/2}$ при $r_1 \rightarrow 0$ капиллярные силы ограничивают рост возмущений: $|R_{n\lambda}^1| < \infty$, $t \rightarrow t_*$.

Замечание 2. При $q = 0$ (плоские возмущения) или $\lambda = 0$, $q = 0$ (радиальные) асимптотики совпадают с (29)–(32).

На рис. 3–5 приведены результаты расчетов амплитуд возмущений границ цилиндрического слоя. На всех рисунках кривая 1 соответствует $R_{n\lambda}^1$, а 2 — $R_{n\lambda}^2$. Линия 3 описывает поведение радиуса внутренней полости r_1 , $\mu_* = (1 + kt_*)^2$, $\varepsilon = 8$, $S_1 = S_2 = 10$. Рис. 3 показывает поведение двумерных возмущений (23), (27) с $\lambda = 1, 2, 3$, а на рис. 4 представлены характерные кривые для радиальных возмущений (23), (28). Рис. 5 иллюстрирует поведение возмущений на свободных поверхностях слоя при $q = 1$, $\lambda = 0, 1, 2, 3$. Построенные численные кривые подтверждают асимптотические выводы предыдущего пункта — внутренняя поверхность неустойчива при схлопывании, в то время как возмущения на внешней поверхности затухают.

Построенные численные кривые подтверждают асимптотические выводы предыдущего пункта — внутренняя поверхность неустойчива при схлопывании, в то время как возмущения на внешней поверхности затухают.

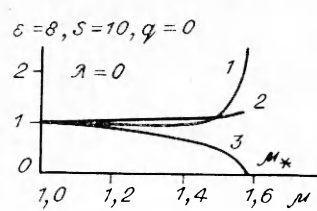
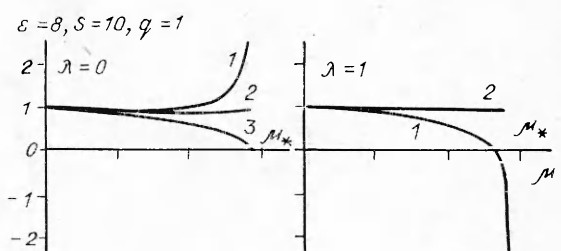


Рис. 4

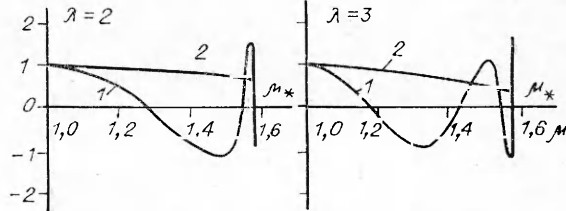


Рис. 5

ЛИТЕРАТУРА

1. Налимов В. И., Пухначев В. В. Неустановившиеся движения идеальной жидкости со свободной границей // Новосибирск: НГУ, 1975.
2. Андреев В. К., Родионов А. А. Групповая классификация и точные решения уравнений плоского и вращательно-симметричного течения идеальной жидкости в лагранжиевых координатах // Дифференц. уравнения. — 1988. — Т. 24, № 9.
3. Овсянников Л. В. Групповой анализ дифференциальных уравнений. — М.: Наука, 1978.
4. Овсянников Л. В. Общие уравнения и примеры // Задача о неустановившемся движении жидкости со свободной границей. — Новосибирск: Наука, 1967.
5. Меньшиков В. М. О малых возмущениях неустановившихся одномерных движений идеальной несжимаемой жидкости с осевой симметрией // ПМТФ. — 1979. — № 2.
6. Андреев В. К. Малые возмущения неустановившегося движения со свободной границей с учетом капиллярных сил // Динамика сплошной среды: Сб. науч. тр./АН СССР, Сиб. отд-ние, Ин-т гидродинамики. — 1977. — Вып. 32.
7. Андреев В. К. Корректность задачи о малых возмущениях движения жидкости со свободной границей // Динамика сплошной среды: Сб. науч. тр./АН СССР, Сиб. отд-ние, Ин-т гидродинамики. — 1973. — Вып. 13.

г. Красноярск

Поступила 5/VI 1991 г.

УДК 539.376

M. H. Кирсанов

О ВЛИЯНИИ ВЫБОРА КРИТЕРИЯ НЕУСТОЙЧИВОСТИ ПРИ ПОЛЗУЧЕСТИ НА РЕШЕНИЕ ЗАДАЧИ ОПТИМИЗАЦИИ СТЕРЖНЕВЫХ КОНСТРУКЦИЙ

Для оценки устойчивости конструкции в условиях ползучести имеется ряд подходов [1]. Неопределенность выбора критерия неустойчивости препятствует точной постановке задачи оптимизации реологических систем. В имеющихся решениях [2, 3] нет сопоставления результатов решения задачи для различных подходов. Однако эти подходы существенно различаются по значению предсказываемого критического времени.

Цель настоящей работы — оценить влияние выбора критерия неустойчивости на решение задачи оптимизации. Рассматриваются так называемые условные критерии [4]. Приводятся уравнения задачи о максимуме критического времени произвольной стержневой конструкции, и на конкретном примере определяется условие минимума объема при фиксированном критическом времени. Показывается, что в первом случае выбор критерия не оказывает никакого влияния на оптимальную форму системы, во втором это влияние незначительно.

Предположим, что материал стержней подчиняется закону ползучести [5]

$$(1) \quad \dot{p} p^\alpha = f(\sigma)$$

($p = \varepsilon - \sigma/E$ — деформация ползучести, α — параметр упрочнения). Анализируя варианты условных критериев неустойчивости при ползучести, заметим, что для большинства из них справедливо представление критической деформации сжатого стержня в форме

$$(2) \quad p = \varphi(\sigma_0 - \sigma)/E,$$

где φ зависит от выбранного критерия (см. таблицу); $\sigma_0 = (\pi/l)^2 EI/F$ — критическое напряжение упругого стержня по Эйлеру; I , F — момент инерции и площадь поперечного сечения. Стержни в конструкции предполагаются шарнирно опретыми. Критерий [6] представлен в форме (2) приближенно при напряжениях, близких к σ_0^* .

* Критическое время в условиях ползучести в [7] получено без учета [6] и повторяет известные результаты.